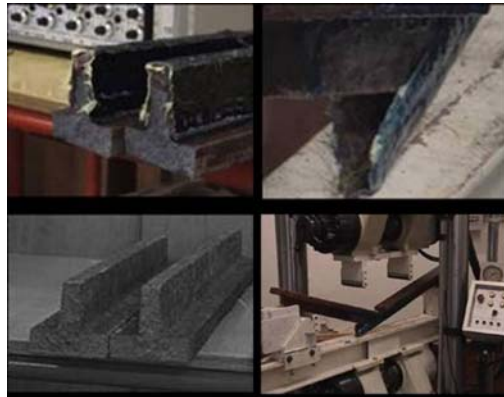




Immagine del modello in legno utilizzato per l'analisi dei cinematismi in presenza e in assenza di configurazione di rinforzo estradosale non aderente.



Modellazione fisica di travetti in ghisa rinforzati con FRP. Four point bending test. Beams failure modes



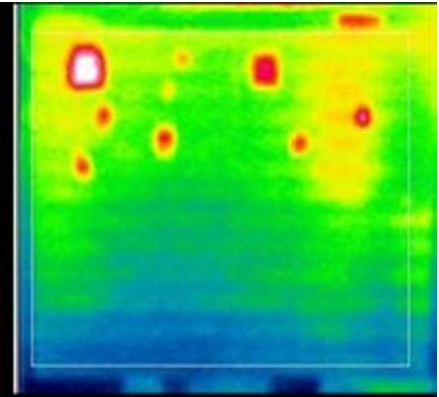
Modellazione fisica di blocchi in muratura rinforzati CFRP ed FRC. Four point bending test. Efficacious length



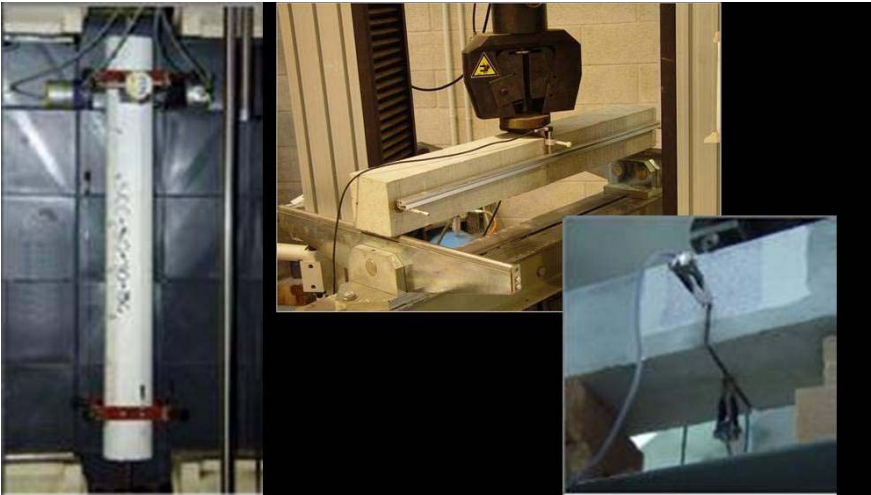
Ponte de la Corona (VE). Rinforzo con AFRP e controllo non distruttivo dei difetti di applicazione



Prove ultrasoniche



Termogramma di un rinforzo con difetti visibili come macchie surriscaldate.



Caratterizzazione meccanica di calcestruzzo autocompattante (SCC) e comportamento di elementi prefabbricati in SCC